

## КРАТКИЕ СООБЩЕНИЯ

УДК 548

МОЛЕКУЛЯРНАЯ И КРИСТАЛЛИЧЕСКАЯ СТРУКТУРА  
4-ТРИФТОР-2-[2-(4-ФТОРФЕНИЛ)ГИДРАЗИН-1-ИЛИДЕН]-1-(ТИОФЕН-2-ИЛ)БУТАН-1,3-ДИОНА© 2012 А.М. Магеррамов<sup>1</sup>, Р.А. Алиева<sup>1</sup>, В.И. Марданова<sup>1\*</sup>,  
Ф.М. Чырагов<sup>1</sup>, А.В. Курбанов<sup>1</sup>, К.А. Потехин<sup>2</sup><sup>1</sup>Бакинский Государственный университет, Азербайджан<sup>2</sup>Владимирский Государственный гуманитарный университет

Статья поступила 27 августа 2010 г.

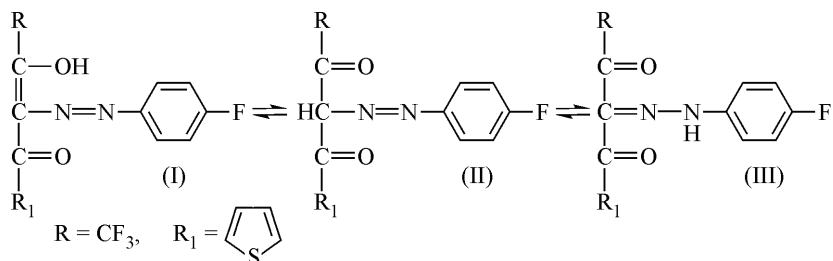
С доработки — 17 мая 2011 г.

Методом рентгеновской дифракции установлена кристаллическая и молекулярная структура 4-трифтор-2-[2-(4-фторфенил)гидразин-1-иlidен]-1-(тиофен-2-ил)бутан-1,3-диона. Кристаллографические данные  $C_{14}H_8F_4N_2O_2S$ :  $a = 8,2723(6)$ ,  $b = 9,3009(7)$ ,  $c = 9,9895(7)$  Å,  $\alpha = 79,224(2)$ ,  $\beta = 75,851(2)$ ,  $\gamma = 72,337(2)$ °, триклинная сингония, пространственная группа  $P\bar{1}$ ,  $d_{выч} = 1,622$  г/см<sup>3</sup>,  $V = 704,83(9)$  Å<sup>3</sup>,  $\mu = 0,286$  мм<sup>-1</sup>, размер кристалла  $0,30 \times 0,20 \times 0,20$  мм,  $R1 = 0,0891$ ,  $wR2 = 0,1989$ .

**Ключевые слова:** рентгеноструктурный анализ, кристаллическая структура,  $\beta$ -дикетон, 4-трифтор-2-[2-(4-фторфенил)гидразин-1-иlidен]-1-(тиофен-2-ил)бутан-1,3-дион.

В настоящее время химия  $\beta$ -дикетонов развивается достаточно интенсивно [1, 2]. Перспективным направлением развития химии координационных соединений является синтез комплексов металлов первого переходного ряда с  $\beta$ -дикетонами [3, 4].

В работах [5, 6] мы показали, что 1-(2-теноил)-4-трифторбутан-1,3-дион может выступать в роли бидентатного хелатного лиганда при образовании комплексов с атомами Cu(II) и Ni(II). В продолжение наших исследований мы синтезировали более сложный  $\beta$ -дикетон, который может существовать в виде трех таутомерных форм — енол-азо (I), кето-азо (II), гидразо (III) [7].



Для того чтобы выяснить, какую из трех возможных таутомерных форм принимает синтезированный нами лиганд и может ли он играть роль бидентатного хелатного лиганда, мы исследовали его молекулярную структуру методом PCA.

**Экспериментальная часть.** 4-Трифтор-2-[2-(4-фторфенил)гидразин-1-иlidен]-1-(тиофен-2-ил)бутан-1,3-дион получен азосочетанием диазотированного *пара*-фторанилина с 1-(2-тиеноил)-4-трифторбутан-1,3-дионом в слабощелочной среде [1].

\* E-mail: Vusala\_chem@mail.ru

Т а б л и ц а 1

*Основные кристаллографические параметры и характеристики эксперимента РСА для молекулы C<sub>14</sub>H<sub>8</sub>F<sub>4</sub>N<sub>2</sub>O<sub>2</sub>S*

Эмпирическая формула	C <sub>14</sub> H <sub>8</sub> F <sub>4</sub> N <sub>2</sub> O <sub>2</sub> S
Молекулярный вес	344,28
Температура, К	296(2)
Длина волны, Å	0,71073
Сингония	Триклинная
Пр. гр.	<i>P</i> 1
Параметры ячейки <i>a</i> , <i>b</i> , <i>c</i> , Å	8,2723(6), 9,3009(7), 9,9895(7)
Углы $\alpha$ , $\beta$ , $\gamma$ , град.	79,224(2), 75,851(2), 72,337(2)
<i>V</i> , Å <sup>3</sup>	704,83(9)
<i>Z</i>	2
<i>d</i> <sub>выч</sub> , г/см <sup>3</sup>	1,622
$\mu$ , мм <sup>-1</sup>	0,286
<i>F</i> (000)	348
Диапазон $\theta$ , град.	2,32—26,00
Пределы <i>h</i> , <i>k</i> , <i>l</i>	-10 ≤ <i>h</i> ≤ 10, -11 ≤ <i>k</i> ≤ 11, -12 ≤ <i>l</i> ≤ 12
Размер кристалла, мм	0,30×0,20×0,20
Общее число отражений	6775
Число независимых отражений	2727
Число отражений ( <i>I</i> > 2σ( <i>I</i> ))	2204
Число уточняемых параметров	199
<i>R</i> -фактор ( <i>I</i> > 2σ( <i>I</i> ))	<i>R</i> 1 = 0,0891, <i>wR</i> 2 = 0,1989
<i>R</i> -фактор (по всем <i>I</i> <sub>hkl</sub> )	<i>R</i> 1 = 0,1034, <i>wR</i> 2 = 0,2096
GOOF по <i>F</i> <sup>2</sup>	1,000
$\Delta d_{\max} / \Delta d_{\min}$ , е·Å <sup>3</sup>	0,977/-0,999
CCDC депозитный номер	767191

**Диазотирование.** 2,775 г (0,025 моль) *пара*-фторанилина растворяют в 20 мл воды при слабом нагревании с добавлением 1 г кристаллического KOH. Раствор охлаждают на ледяной бане до 0 °C и прибавляют порциями 1,725 г (0,025 моль) NaNO<sub>2</sub> в течение 30 мин. Температура не должна превышать +5 °C.

**Азосочетание.** Смесь 5,55 г (0,025 моль) 1-(2-тиеноил)-4-трифторметил-1,3-диона и 15 мл этанола охлаждают добавлением 11,952 г (0,146 моль) CH<sub>3</sub>COONa. Раствор охлаждают в ледяной бане и вводят порциями суспензию диазония *пара*-фторанилина. В процессе сочетания следили за тем, чтобы pH был в пределах 8—10. На следующий день выпавшие кристаллы отфильтровывают, промывают этанолом и сушат на воздухе.

Вычислено, %: C 48,84, H 2,33, F 22,09, N 8,14, S 9,30, найдено, %: C 48,55, H 2,45, F 21,89, N 8,44, S 9,07.

Рентгеноструктурное исследование C<sub>14</sub>H<sub>8</sub>F<sub>4</sub>N<sub>2</sub>O<sub>2</sub>S проведено на дифрактометре Bruker SMART APEX II CCD (*T* = 296 K, λMoK<sub>α</sub>-излучение, графитовый монохроматор, φ- и ω-сканирование, 2θ<sub>max</sub> = 56°).

Кристаллы C<sub>14</sub>H<sub>8</sub>F<sub>4</sub>N<sub>2</sub>O<sub>2</sub>S желтые, при *T* = 296 K: *a* = 8,2723(6), *b* = 9,3009(7), *c* = 9,9895(7) Å,  $\alpha$  = 79,224(2),  $\beta$  = 75,851(2),  $\gamma$  = 72,337(2)°, *V* = 704,83(9) Å<sup>3</sup>, пространственная группа *P*1, *Z* = 2, *d*<sub>выч</sub> = 1,622 г/см<sup>3</sup>,  $\mu$  = 0,286 мм<sup>-1</sup>. В табл. 1 приведены основные результаты рентгеноструктурного эксперимента и расчетов. Все кристаллографические данные (CIF-файл) депонированы в CCDC, откуда могут быть свободно получены по запросу на следующем интернет-сайте: [www.ccdc.cam.ac.uk/data\\_request/cif](http://www.ccdc.cam.ac.uk/data_request/cif), CCDC депозитный номер указан в табл. 1.

Перспективный вид молекулы  $C_{14}H_8F_4N_2O_2S$   
в кристалле с нумерацией неводородных атомов

Структура определена прямым методом и уточнена методом наименьших квадратов в анизотропном приближении для неводородных атомов по программе SHELXTL-2001 [8]. Атом водорода, который участвует в образовании внутримолекулярной водородной связи, локализован на разностном синтезе электронной плотности, положение остальных атомов водорода рассчитано геометрически и уточнялось в модели "наездника".

**Обсуждение результатов.** По результатам рентгеноструктурного исследования синтезированный нами  $\beta$ -дикетон является 4-трифтор-2-[2-(4-фторфенил)гидрозин-1-илиден]-1-(тиофен-2-ил)-бутан-1,3-дионом. Перспективный вид молекулы с нумерацией неводородных атомов представлен на рисунке, основные геометрические параметры (длины связей и валентные углы) — в табл. 2. Атомы фтора  $CF_3$ -группы и пятичленный гетероцикл молекулы при комнатной температуре разупорядочены по двум кристаллографическим позициям (соотношение заселенностей позиций для атомов фтора 1:1 и для атомов гетероцикла 7:3). К сожалению, понижение температуры монокристалла приводит к его механическому разрушению.

В молекуле имеется достаточно прочная внутримолекулярная водородная связь типа  $N—H...O$  между атомами  $N(2)$  и  $O(2)$  (расстояния  $N...O$  2,533(3),  $N—H$  0,96,  $H...O$  1,79 Å, угол  $NHO$  131°).

За счет указанной выше внутримолекулярной водородной связи образуется плоский 6-членный цикл  $O(2)H(2N)N(2)N(1)C(9)C(10)$ . Геометрические параметры этого цикла (длины связей, валентные и торсионные углы) близки к соответствующим среднестатистическим зна-

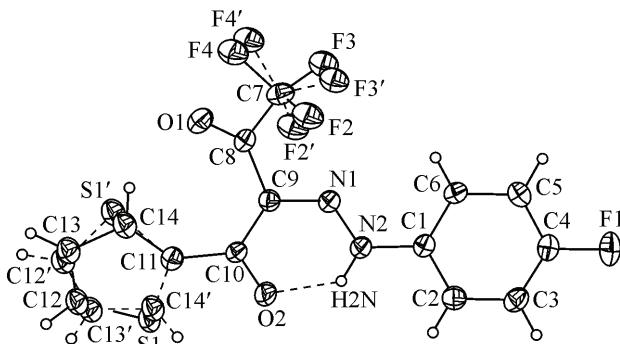


Таблица 2

Избранные значения длин связей ( $d$ , Å) и валентных углов ( $\omega$ , град.) в молекуле  $C_{14}H_8F_4N_2O_2S$

Связь	$d$	Связь	$d$	Связь	$d$
$S(1)—C(11)$	1,709(2)	$N(1)—N(2)$	1,296(3)	$C(10)—C(11)$	1,456(3)
$S(1)—C(12)$	1,716(1)	$N(1)—C(9)$	1,330(4)	$C(11)—C(14)$	1,360(2)
$S(1')—C(12')$	1,710(2)	$N(2)—C(1)$	1,401(3)	$C(11)—C(14')$	1,375(2)
$S(1')—C(11)$	1,713(1)	$C(13')—C(14')$	1,425(2)	$C(12)—C(13)$	1,362(2)
$O(1)—C(8)$	1,203(4)	$C(7)—C(8)$	1,566(4)	$C(13)—C(14)$	1,428(2)
$O(2)—C(10)$	1,237(4)	$C(8)—C(9)$	1,458(4)	$C(12')—C(13')$	1,359(2)
		$C(9)—C(10)$	1,479(4)		
Валентный угол	$\omega$	Валентный угол	$\omega$	Валентный угол	$\omega$
$C(11)—S(1)—C(12)$	91,44(6)	$C(7)—C(8)—C(9)$	117,5(2)	$C(10)—C(11)—S(1)$	115,9(1)
$C(11)—S(1')—C(12')$	91,64(7)	$N(1)—C(9)—C(8)$	110,6(3)	$C(14)—C(11)—S(1)$	112,18(8)
$N(2)—N(1)—C(9)$	121,6(3)	$N(1)—C(9)—C(10)$	123,3(3)	$C(14')—C(11)—S(1')$	111,63(7)
$N(1)—N(2)—C(1)$	120,6(2)	$C(8)—C(9)—C(10)$	125,8(3)	$C(13)—C(12)—S(1)$	112,14(9)
$C(6)—C(1)—N(2)$	122,2(2)	$O(2)—C(10)—C(9)$	117,5(3)	$C(12)—C(13)—C(14)$	111,9(1)
$C(2)—C(1)—N(2)$	117,2(2)	$O(2)—C(10)—C(11)$	116,2(3)	$C(11)—C(14)—C(13)$	112,3(2)
$F(1)—C(4)—C(3)$	118,8(2)	$C(9)—C(10)—C(11)$	126,2(2)	$C(13')—C(12')—S(1')$	112,45(8)
$F(1)—C(4)—C(5)$	118,5(2)	$C(10)—C(11)—C(14)$	131,9(2)	$C(12')—C(13')—C(14')$	112,1(2)
$O(1)—C(8)—C(7)$	116,5(3)	$C(10)—C(11)—C(14')$	116,8(2)	$C(11)—C(14')—C(13')$	112,2(2)
$O(1)—C(8)—C(9)$	126,0(3)				

чениям, что указывает на его стабильность. В то же время наличие достаточно объемистых заместителей при атомах C(9) и C(10) приводит к стерическому напряжению молекулы и, как следствие, к существенной деформации валентных углов O(1)—C(8)—C(9), C(8)—C(9)—C(10) и C(9)—C(10)—C(11), а также к развороту заместителя при атоме C(9) относительно одинарной связи C(8)—C(9) (торсионный угол C(7)—C(8)—C(9)—N(1) составляет  $-25,4(4)^\circ$ ). Разворот заместителей при атомах C(10) и N(2) относительно соответствующих одинарных связей весьма незначительный (торсионные углы O(2)—C(10)—C(11)—S(1) и N(1)—N(2)—C(1)—C(6) равны  $-5,8(3)$  и  $-7,6(4)^\circ$  соответственно). Таким образом, в кристалле молекула имеет уплощенную форму, что может быть обусловлено как внутримолекулярными эффектами (сопряжение двойных связей и внутримолекулярная водородная связь), так и влиянием кристаллического поля (упаковкой молекул).

Таким образом, методом РСА доказано, что 4-трифтор-2-[2-(4-фторфенил)гидразин-1-илиден]-1-(тиофен-2-ил)-бутан-1,3-дион в кристалле принимает гидразо-форму. Одна из кетогрупп участвует в образовании внутримолекулярной водородной связи типа N—H...O. Более того, атом N(1) экранирован CF<sub>3</sub>-группой и тоже не может участвовать в координации атома металла. Таким образом, для координации свободной остается только одна кето-группа. Следовательно, исследованный нами  $\beta$ -дикетон может быть использован только как монодентатный лиганд.

#### СПИСОК ЛИТЕРАТУРЫ

1. Махмудов К.Т. Исследование и аналитическое применение комплексов меди(II) с азопроизводными  $\beta$ -дикетонов: Дис. ... канд. хим. наук. – Баку, 2006.
2. Байдина И.А., Курашева Н.В., Стабников П.А., Громилов С.А. // Журн. структур. химии. – 2007. – **48**, № 3. – С. 537.
3. Шишкина С.В., Баумер В.Н., Шишкин О.В. и др. // Журн. структур. химии. – 2005. – **46**, № 1. – С. 156.
4. Шарикова О.Г., Наумов Д.Ю., Шведенков Ю.Г. и др. // Журн. структур. химии. – 2003. – **44**, № 4. – С. 701.
5. Магеррамов А.М., Алиева Р.А., Марданова В.И. и др. // Координац. химия. – 2011. – **37**, № 4. – С. 268.
6. Магеррамов А.М., Алиева Р.А., Бахманова Ф.Н. и др. // Координац. химия. – 2011. – **37**, № 1. – С. 46.
7. Гусейнов Ф.Е. Исследование и аналитическое применение комплексообразования РЭ с азопроизводными пирогаллола и хромотроповой кислотой: Дис. ... док. хим. наук. – Баку, 2007.
8. Sheldrick G.M. // SHELXTL. Version. 6.12. Structure Determination Software Suite. Madison (WI, USA): Bruker AXS, 2001.